

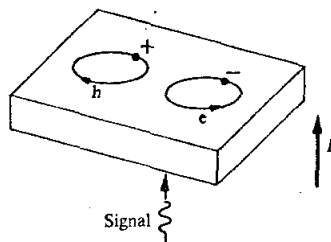
บทที่ 4

ผลจากสนามแม่เหล็กและสนามไฟฟ้าค่าสูง

วัตถุประสงค์

เพื่อให้เข้าใจถึงผลจากสนามแม่เหล็กและสนามไฟฟ้าค่าสูงต่อการเคลื่อนที่ของอิเลคตรอนในสารกึ่งตัวนำ ได้แก่ เรื่องราวของไฮโคลดรอนเรโซแนนซ์ สัมประสิทธิ์ของชอล์ ภัณฑ์เอฟเฟค และสามารถนำไปประยุกต์เพื่อหาค่า μ , p , n และ m^* ได้

4.1 ไฮโคลดรอนเรโซแนนซ์



รูป 4.1 การเคลื่อนที่แบบไฮโคลดรอนของอิเลคตรอนและไฮอล

ในสนามแม่เหล็ก B

สำหรับอนุภาคที่มีประจุ e ความเร็ว v ถ้ามีสนามแม่เหล็ก B ในพิศทางตั้งฉากกับ v มากขนาดใดๆ ก็จะได้รับแรงกระทำ Bev และเคลื่อนที่เป็นวงกลม ซึ่ง

$$mv = mv^2/r = Bev$$

$$\text{ที่} \quad v = \frac{Be}{m}$$

$$\text{และ} \quad \omega = \frac{v}{r} = \frac{Be}{m}$$

เมื่อ a คือ ความเร่ง r เป็นรัศมีของวงโคจร และ v เป็นความเร็ว

ในการพื้นของสารกึ่งตัวนำอนุภาคที่มีประจุคืออิเลคตรอนและโพล เราเรียกการเคลื่อนที่เป็นวงกลมของอนุภาคทั้งสอง เมื่อมีส่วนนามแม่ เหล็กมากจะทำว่า การเคลื่อนที่แบบไซโคลotron และความถี่ของการเคลื่อนที่เรียกว่าความถี่ไซโคลotron (cyclotron frequency) ซึ่งมีค่า $\omega_c = eB/m^*$ ส่วนรับอิเลคตรอนในกรณีที่ส่วนนามแม่เหล็กตั้งจากกัน v และมีทิศทางผูกอกจากแผ่นสารกึ่งตัวนำดังในรูป 4.1 มันจะเคลื่อนที่เป็นวงกลมในลักษณะวนเข็มนาฬิกา ด้วยความถี่เชิงบุน

$$\omega_{ce} = \frac{eB}{m^*} \quad \dots \dots \dots (4-1)$$

สำหรับโพล เมื่อจากมีประจุบวกจะเคลื่อนที่ในลักษณะตามเข็มนาฬิกาด้วยความถี่

$$\omega_{ch} = \frac{eB}{m^*_h} \quad \dots \dots \dots (4-2)$$

ตั้งนั้นจะมีความถี่ ไซโคลotron 2 ความถี่ในสารกึ่งตัวนำโดยเป็นของอิเลคตรอนค่าหนึ่ง และของโพลอีกค่าหนึ่ง ความถี่ทั้งสองนี้สามารถวัดได้โดยส่งสัญญาณแม่เหล็กไฟฟ้า (ความปกติจะเป็นย่างในไครเวฟ) เข้าไปในแผ่นสารกึ่งตัวนำ โดยให้มีทิศทางเดียวกับสนามแม่เหล็ก เมื่อความถี่ของสัญญาณมีค่าเท่ากัน ω_{ce} หรือ ω_{ch} พลังงานของสัญญาณจะถูกดูดกลืนโดยอิเลคตรอนหรือโพลตามลำดับ ซึ่งเราเรียกว่าเกิดไซโคลotronเรโซแนนซ์ (cyclotron resonance)

ผลที่สำคัญของ เรื่องนี้ก็คือการนำไปใช้เพื่อรักษาความเรียบง่ายของ โดยการรักษาความเรียบง่ายของ ใช้โคลดرونจากสัญญาณแม่เหล็กไฟฟ้า เมื่อยกอุตสาหกรรมที่สูง แล้วแทนค่าในสมการ (4-1) หรือ (4-2)

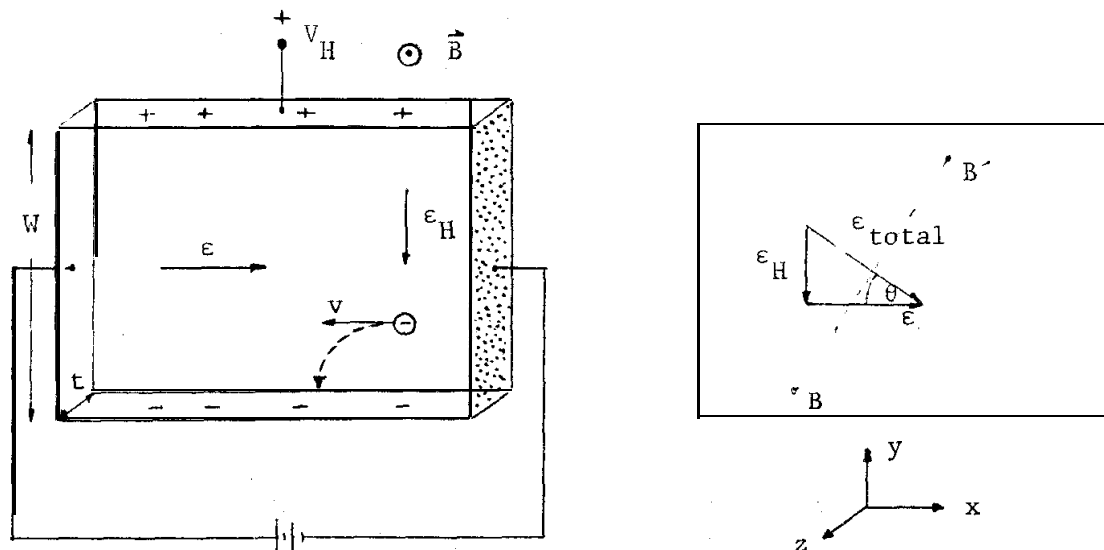
เทคนิคของใช้โคลดرونเรโซแนนซ์ยังใช้สำหรับการแยกหาอิเลคตรอนหรือไฮโลได้ อีกด้วย สมมุติว่าคลื่นแม่เหล็กไฟฟ้าที่ผ่านเข้าไปเป็นคลื่นโพลาไรซ์ตามระนาบ(plane polarized) นั่นคือ เราอาจคิดว่าเป็นคลื่นโพลาไรซ์แบบวงกลม (circularly polarized) 2 คลื่นซึ่งมีทิศทางทวนเข็มนาฬิกาและตามเข็มนาฬิกา โดยแย่บลิจูดมีค่า เท่ากัน เมื่อคลื่นนี้ผ่านสารตัวอย่าง และสมมุติว่าเกิดเรโซแนนซ์ที่ $\omega = \omega_{ce}$ คือเกิดเรโซแนนซ์กับอิเลคตรอน เนื่องจากวงโคจรของอิเลคตรอนอยู่ในทิศทางทวนเข็มนาฬิกาดังนั้นมันจะถูกคลื่นพลังงานจากคลื่นโพลาไรซ์แบบวงกลมที่มีทิศทางทวนเข็มนาฬิกาเท่านั้น คลื่นล้วนที่เหลือจะไม่ถูกบดกลบ ดังนั้นคลื่นที่ผ่านออกมายังไน เป็นคลื่นที่โพลาไรซ์ตามระนาบอีกด้วย แต่จะมีลักษณะโพลาไรซ์บางส่วนในทิศตามเข็มนาฬิกา และเราจะสังเกตได้ว่าผลลัพธ์แบบนี้เกิดจากอิเลคตรอน เป็นตัวถูกคลื่นพลังงาน ในกรณีของเรโซแนนซ์ กับไฮโลการถูกคลื่นพลังงานของแสงจะมีค่าคลื่นตามเข็มนาฬิกา ดังนั้นคลื่นที่ผ่านออกไปจะโพลาไรซ์ ในทิศตรงกันข้ามกับของอิเลคตรอน

การทดลองใช้โคลดرونเรโซแนนซ์จะกระทำที่อุณหภูมิค่อนข้างต่ำ และสารตัวอย่างจะต้อง บริสุทธิ์มาก เพื่อที่จะให้ย่านความถี่ที่ถูกถูกคลื่นสามารถสังเกตได้อย่างชัดเจนค่า ω_c จะต้องมากกว่า 1 มากรู (รู คือช่วงชีวิต) นั่นคือในช่วงเวลา ก่อน เกิดการชนกันแล้วครั้งอนุภาคจะต้องร่อง เป็นวงกลมได้หลายรู รอบ ที่อุณหภูมิประมาณ 4°K และสารตัวอย่างมีความบริสุทธิ์สูง ค่า τ จะมีค่ามากและทำให้ ω_c มีค่ามากตามไปด้วย

ตามปกติของการทดลองเกี่ยวกับใช้โคลดرونเรโซแนนซ์ ω_c จะอยู่ในย่านใบโคเรฟ ในปัจจุบันได้มีการทดลองวัด ω_c ได้ละเอียดกว่าเดิม โดยใช้สัญญาณจากเลเซอร์อินฟราเรด โดยการทำให้ ω_c เข้ามาอยู่ในย่านอินฟราเรด (ซึ่งต้องใช้สนามแม่เหล็กความเข้มสูงมาก -50kG)

เมื่อความถี่ใช้โคลครอน เข้ามาอยู่ในย่านนี้ซึ่งมีค่าสูงกว่าย่านไม่โคลครอนมาก $\omega_c \tau$ จึงมีค่าสูง และทำให้สังเกตหรือรับใช้โคลครอนเรื่อยๆ ได้จะເວຍດະຫຼາດເຈນກວ່າເຕີມ

4.2 ອອລ໌ເອັບເປັດ



ຮູບ 4.2 ການທົດລອງອອລ໌ເອັບເປັດໃນສາຣກິ່ງດ້ວນນຳ (ກ) ແລະ ກາພແສດງ
ຂຸມຂອງອອລ໌ (ຂ)

ພິຈາລະນາການເຄລືອນທີ່ຂອງອີເລັກໂຄລຣອນໃນສາຣກິ່ງດ້ວນນຳດັ່ງໃນຮູບ 4.2 ເມື່ອມີສານແມ່
ເຫຼັກ (ທີ່ສາທັກດັ່ງຈາກກັນ J ແລະ ຫຼຸ້ງອອກຈາກກະຕາຍ) ອີເລັກໂຄລຣອນຈະໄດ້ຮັບແຮງລອເຣນົ້ວແລະ ເຄລືອນ
ທີ່ໄດ້ລົງດ້ານລ່າງ ທຳໄໝສົວດ້ານລ່າງ ເປັນລົມ ເນື້ອເທືຍກັນສົວດ້ານນັນ ແລະ ທຳໄໝເກີດສານໄຟ້ກາຍໃນ
ຫຸ້ນໃນທີ່ສາທັກ $-y$ ເຮັດວຽກວ່າສານຂອງອອລ໌ (Hall field ; ϵ_H) ສານໄຟ້ນີ້ຈະທຳໄໝເກີດແຮງ
ກະທຳດ້ວຍອີເລັກໂຄລຣອນໃນທີ່ $+y$ ໃນສກາວະຄອງທີ່ແຮງຈາກສານແມ່ເຫຼັກແລະຈາກສານຂອງອອລ໌ຈະເຖິງ
ກັນ

$$e \epsilon_H = e B v$$

ในกรณีของอิเลคตรอนเนื่องจาก $J = -e n v$ ดังนั้น

$$\frac{1}{ne} = \frac{\varepsilon_H}{BJ}$$

ค่า ε_H/BJ เป็นค่าคงที่ ซึ่งเรียกว่า สัมประสิทธิ์ของชอล์ (Hall coefficient) หรือค่าคงตัวของชอล์ (Hall constant) แทนด้วย R ดังนี้

$$R_e = \frac{\varepsilon_H}{BJ} = -\frac{1}{ne} \quad \dots \dots \dots (4-3)$$

และในกรณีของไฮโลก็จะอยู่ในรูปเดียวกันยกเว้นประจุของไฮลซึ่ง เป็นบวกและทำให้ค่าสัมประสิทธิ์ของชอล์ เป็นบวกด้วย

$$R_h = \frac{\varepsilon_H}{BJ} = \frac{1}{pe} \quad \dots \dots \dots (4-4)$$

ในการทดลองจริงๆ เราวัด ε_H ได้จากการวัดศักย์ไฟฟ้าของชอล์ V_H ดังในรูป 4.2 ก เราจะลองพิจารณากรณีโดยทั่วๆ ไปว่า V_H มีค่าประมาณเท่าใด โดยสมมุติให้สารกึ่งตัวนำเป็น Ge ชนิดเอ็น มีความกว้าง 1 ซ.ม. หนา 1 ม.ม. และ $n = 5 \times 10^{14}$ ซ.ม.⁻³ $B = 10^3$ G และกระแส 1 mA

$$\text{จาก } \varepsilon_H = V_H/W \text{ และ } \varepsilon_H = R BJ$$

$$\text{ดังนั้น } V_H = R J B W = \frac{R I B W}{Wt} = \frac{R I B}{t}$$

$$\text{เนื่องจาก } R = -\frac{1}{ne} \text{ จึงมีค่าประมาณ } = 10^4 \text{ cm}^3 \text{ C}^{-1} \text{ ซึ่งจะได้}$$

$$V_H \text{ ประมาณ } 1 \text{ mV}$$

ในกรณีที่มีพารามิเตอร์ทางน้ำประจุเชิงเดียว จาก $e \epsilon_H = e B v$ หรือ $v = \epsilon_H / B$
และจากนิยามของความคล่องตัว $\mu = v/\epsilon$ (v ในที่นี้คือ drift velocity) ดังนั้น

$$\mu = V/E = \frac{\epsilon_H}{e B} \quad \dots \dots \dots (4-5)$$

ค ศื่อสนาณไฟฟ้าในแนว x หรือคือสนาณไฟฟ้าที่เกิดจากแม่เหล็ก เทอร์ หรือแรงเคลื่อนไฟฟ้าภายในออก
นั่นเอง (อธูป 4.2)

เนื่องจากศิริของศักยไฟฟ้าคงที่ (constant potential) จะต้องจากกับเลี้ยวของ
สนาณไฟฟ้า ดังนั้นจะเห็นได้ว่าจะมีจุดบางอยู่ เช่น B และ B' ซึ่งมีความต่างศักดิ์เป็นศูนย์ จาก
รูป 4.2 ที่ ϵ_H/e มีค่าเท่ากับ $\tan \theta$ บุม θ นี้เรียกว่ามุมของฮอลล์ (Hall angle) ดังนั้น

$$\mu = \frac{\tan \theta}{B} \quad \dots \dots \dots (4-6)$$

ความคล่องตัวนี้ยังอาจวัดได้อีกวิธีหนึ่งจากการทดลองของฮอลล์คือ ในการสารกึ่ง
ตัวนำชีวิตเอ็น

$$\sigma_e = ne \mu_e$$

แทนค่า ne จากสมการนี้ลงในสมการ (4-3) จะได้

$$\mu_e = \sigma_e R_e \quad \dots \dots \dots (4-7)$$

สำหรับกรณีของไฮดราในสารกึ่งตัวนำชีวิตพี จะได้สมการคล้ายๆ กัน ดังนั้นค่าความคล่องตัวของ

อิเลคตรอนและไฮดรอกซิมาร์คัลได้ จากการวัดสภาพไฟฟ้า และค่าสัมประสิทธิ์ของชอล์จากสารกึ่งตัวนำเออกซ์ทินซิก ค่า σR นี้จะมากกว่า ความคล่องตัวของชอล์ (Hall mobility) และเชื่อมโยงว่า μ_H

จะเห็นได้ว่าวิธีการของชอล์เօฟเฟคทำให้สามารถวัดความหนาแน่นของพาราบาน้ำประจุ และความคล่องตัวของพาราบาน้ำประจุในสารกึ่งตัวนำได้

ในการมีต้องพิจารณาทั้งอิเลคตรอนและไฮดรۆม่า กันจะต้องมีการแก้ไขสมการเสียใหม่ให้ถูกต้อง จากรูป 4.2 ก สนามไฟฟ้า E อยู่ในทิศ x และขณะเดียวกันสนามแม่เหล็ก B อยู่ในทิศ Z เนื่องจากสนาม E จะเกิดกระแสโดยอิเลคตรอนเคลื่อนไปทางซ้ายและไฮดรอไปทางขวา การเคลื่อนที่ของอิเลคตรอนและไฮดรอจะเคลื่อนที่ลงไปสู่ผิวด้านล่าง (อูรูป 4.2 ก) และเกิดการ "หักล้าง" กันขึ้น การหักล้างนี้จะไม่หมดไปอย่างสิ้นเชิง และทำให้เกิดประจุไฟฟ้าขึ้นที่ผิวด้านล่าง เนื่องจากสารจะต้องเป็นกลางทางไฟฟ้าดังนั้นจะเกิดประจุตรงกันข้ามขึ้นที่ผิวดอนบน และเกิดสนามไฟฟ้าในแกน y ขึ้น ซึ่งเรียกว่าสนามของชอล์ดังที่ได้กล่าวมาแล้ว

เราสามารถคำนวณหาค่าสนามของชอล์ได้ดังนี้คือ จากแรงดึงดูดที่กระทำต่ออิเลคตรอน

$$F_{Le} = -e(\vec{v} \times \vec{B}) = evB$$

ตามรูป 4.2 จะเห็นว่า แรงนี้มีทิศทาง $-y$ ซึ่งเสมือนกับว่าอิเลคตรอนได้รับแรงจากสนามดูดแรง (Lorentz field)

$$-e \cdot \vec{v}_{Le} = evB$$

และเนื่องจาก $J_e = -nev$ ดังนั้น

$$\varepsilon_{Le} = \frac{J_e B}{ne} \dots\dots\dots (4-8)$$

เมื่อ J_e เป็นส่วนหนึ่งของกระแส J_x ที่นำໄไปโดยอิเลคตรอน ทำนองเดียวกัน เมื่อเราพิจารณา ไฮลจะได้

$$\varepsilon_{Lh} = \frac{J_h B}{pe} \dots\dots\dots (4-9)$$

ดังนั้นจะเห็นว่าไฮล์ เอฟเฟคในสารกึ่งตัวนำที่ภาวะสมดุล จะอยู่ในลักษณะที่ว่า พาหะน้ำประจุเคลื่อนที่ในแกน x แต่ได้รับแรงกระทำหลายแรงในแกน y คือแรงจากสนาม ε_{Le} (ได้รับโดยอิเลคตรอน) ε_{Lh} (ได้รับโดยไฮล) และ ε_H (ได้รับทั้งอิเลคตรอนและไฮล) ดังนั้น กระแสทั้งหมดในแกน y จึงเขียนได้ดังนี้

$$J_y = ne \mu_e \varepsilon_{Le} + pe \mu_h \varepsilon_{Lh} + (ne \mu_e + pe \mu_h) \varepsilon_H \dots\dots\dots (4-10)$$

แต่ J_y ต้องเท่ากับศูนย์ เพราะอิเลคตรอนหรือไฮลจะเหลือในแกน y ตลอดไปไม่ได้เนื่องจากมีปัจจัยอยู่ และเนื่องจาก

$$J_e = [n \mu_e / (n\mu_e + p\mu_h)] J_x$$

$$J_h = J_x - J_e$$

$$\text{และ } R = \varepsilon_H / J_x B$$

แทนค่าลงในสมการ (4-10) จะได้

$$R = \frac{P \mu_h^2 - n \mu_e^2}{e(n \mu_e + P \mu_h)^2} \dots\dots\dots (4-11)$$

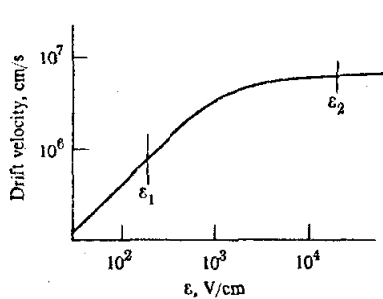
ในกรณีที่สารกึ่งตัวนำเป็นชนิดอิเล็กทรอนิกส์ หรือพีэмแอล สมการ (4-11) จะกลับไปเป็นสมการ (4-3) และ (4-4) ตามลำดับ โดยแทนค่า $P = 0$ สำหรับชนิดอิเล็กทรอนิกส์ และ $n = 0$ สำหรับชนิดพีэмแอล

จากสมการ (4-11) ค่าสัมประสิทธิ์ของหออล์อ่าจ เป็นบวก ลบ หรือศูนย์ก็ได้ ขึ้นกับค่าความหนาแน่นของพาหะนำประจุและค่าความคลื่องคัว ดังนั้นจากการวัดค่า R เราจะได้ความสัมพันธ์ระหว่างค่าเหล่านี้ ในกรณีที่เราศึกษาพาหะนำประจุเพียงชนิดเดียวจากสมการ (4-3) และ (4-4) จะเห็นว่าเราจะหาค่าความหนาแน่นของพาหะนำประจุได้ทันทีเมื่อเราวัดค่า R ได้

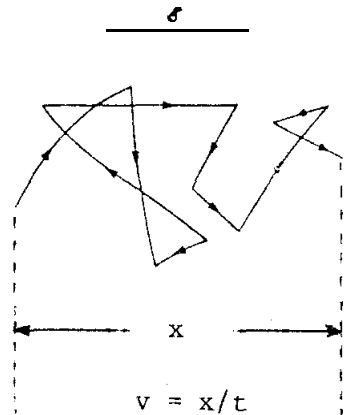
4.3 ผลของสนามไฟฟ้าค่าสูงและอิเลคโทรอนร้อน

สารกึ่งตัวนำแสดงการผันแปรระหว่าง J และ E เป็นเส้นตรงตามกฎของโอห์ม คือ $J \propto E$ เมื่อสนามไฟฟ้ามีค่าต่ำซึ่งเป็นกรณีตามปกติทั่วไป แต่เมื่อสนามไฟฟ้ามีค่าสูง (high field) และในอุบลบางชนิดความแปรผันดังที่กล่าวถึงจะหดไปจากกฎของโอห์ม ดังรูป 4.3(ก) ซึ่งเป็นของเจอร์เคนเนียมชนิดอิเล็กทรอนิกส์ การแปรผันนี้จะสังเกตเห็นได้ชัดเจนที่ ϵ_1 สำหรับที่ $E < E_1$ กระแสไฟฟ้าจะเป็นไปตามกฎของโอห์มและที่สนามความเข้มมากกว่านี้ ต่อที่ ϵ_2 ค่ากระแสจะคงที่จนกระทั่งที่สนามไฟฟ้าค่าสูงมากจริงๆ เช่น 100 kV/cm จะเกิดการหักลายนทางไฟฟ้า (electrical breakdown)

ต่อไปจะพิจารณาถึงทฤษฎีซึ่งให้เห็นรูปนี้ความคิดทางพิสิกส์ของพฤติกรรมไม่โอห์มิก (non - ohmic behavior) ที่สนามไฟฟ้าค่าสูง โดยใช้ตัวอย่างเป็นสารกึ่งตัวนำชนิดอิเล็กทรอนิกส์ พิจารณาค่าพลังงานเฉลี่ยของอิเลคโทรอน $\bar{E} = \frac{3}{2} k_B T$ ที่สนามไฟฟ้าค่าสูง อิเลคโทรอนจะรับ



(ก)



(ข)

รูป 4.3 (ก) ความเร็วของการเคลื่อนย้าย (drift) เทียบกับสนามไฟฟ้าค่า $J = nev$ แบร็บันกับความเร็วนี้รูป (ข) แสดงถึงความเร็วของการเคลื่อนย้าย

พลังงานมาจากสนามไฟฟ้าเป็นจำนวนมาก เนื่องจากมันมีความเร่งขึ้นทุกครั้งในช่วงเวลาพลังการชนแต่ละครั้ง และก่อสูญเสียพลังงานแก่แลททิสเซ่นกัน (ปราากฎในรูปของ Joule heat) ในสภาวะคงที่ อัตราการได้รับและสูญเสียพลังงานต้องเท่ากัน ดังนั้น

$$\frac{d\bar{E}}{dt} = (\frac{d\bar{E}}{dt})_e + (\frac{d\bar{E}}{dt})_{\text{lattice}} = 0$$

หรือ $(-e \cdot \epsilon \cdot v) - \frac{\bar{E}(T_e) - \bar{E}(T)}{\tau_E} = 0 \quad \dots \dots \dots (4-12)$

โดยที่อัตราการได้รับพลังงานของอิเลคตรอนเนื่องจากสนาม, $(d\bar{E}/dt)_e$ มีค่าเท่ากับแรงดึงดูดกันความเร็วเคลื่อนย้ายเฉลี่ย v , ($v = -J/en$) τ_E เป็น "energy relaxation time" ซึ่งมีค่าเท่ากับ ℓ/v ; T_e เป็นอุณหภูมิของอิเลคตรอน หรือ "effective temperature" และ T เป็นอุณหภูมิของแลททิส v' คือ v_{random}

เราให้ T_e มีโอกาสที่จะ "ร้อน" มากกว่าแลททิสซึ่งเราจะเรียกอิเลคตรอนขณะนั้นว่า "อิเลคตรอนร้อน (hot electron)" โดยการแทนค่า $\bar{E}(T_e) = \frac{3}{2} k_B T_e$, $\bar{E}(T) = \frac{3}{2} k_B T$ และ $v = \mu e$ ในสมการ (4-12) จะได้

$$T_e = T + \frac{2}{3} \frac{e \tau_E \mu_e}{k_B} \varepsilon^2 \quad \dots \dots \dots (4-13)$$

แทนค่า $\tau_E = 10^{-11} \text{ s}$, $\mu = 10^3 \text{ cm}^2/\text{V-s}$, $\varepsilon = 10^3 \text{ V/cm}$ จะได้ $\Delta T = T_e - T \approx 100^\circ\text{K}$ ซึ่งแสดงให้เห็นว่าอิเลคตรอน "ร้อน" กว่าแลททิสปริมาณ ΔT นี้จะยิ่งมากที่สนามไฟฟ้าค่าสูง และหรือความคล่องตัวมีค่าสูง

จากบทที่แล้ว $\mu_e = e \ell_e / m^* v_r$ โดยที่ v_r เป็น "random velocity" (v_r เท่ากับระยะทางอิสระเฉลี่ยหารด้วยช่วงชีวิต) และ $v_r \sim T^{1/2}$ ดังนั้น $\mu \sim T^{-1/2}$ ซึ่งเราอาจเขียน

$$\mu_e = \mu_{e,0} (T/T_e)^{1/2} \quad \dots \dots \dots ^* (4-14)$$

คือเปลี่ยนจาก T ไปเป็น T_e นั่นเอง $\mu_{e,0}$ เป็นความคล่องตัวตามปกติที่สนามไฟฟ้าค่าต่ำ แทนค่า (4-13) ใน (4-14) จะได้ค่าโดยประมาณดังนี้

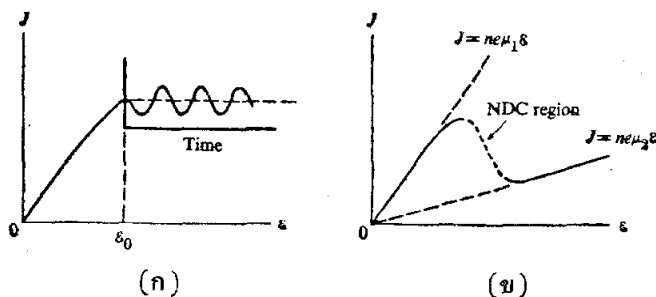
$$\mu_e \approx \mu_{e,0} \left(1 - \frac{e \tau_E \mu_e \varepsilon^2}{3 k_B T}\right) \quad \dots \dots \dots (4-15)$$

ชีงแสดงถึงการลดลงของความคล่องตัวที่สนามไฟฟ้า ϵ_1 และมากกว่าดังในรูป 4.3 ส่วนในช่วงกลางๆ ค่อนข้างจะยุ่งยากจึงไม่กล่าวถึงในที่นี้

การอิ่มตัวหรือคงตัวของกระแสในสนามค่าสูงกว่านี้ (ϵ_2) เกิดขึ้นเนื่องจากอิเลคตรอนถ่ายเทพลังงานให้แก่แลบทิล โดยทำให้เกิดออพทิคัลโฟโนนขึ้น เนื่องจากออพทิคัลโฟโนนมีพลังงานมากกว่าอยุสติคัลโฟโนนมาก ดังนั้นอิเลคตรอนจึงสูญเสียพลังงานที่ได้รับจากสนามไฟฟ้า ในอัตราที่สูงและเข้าสู่สภาวะอิ่มตัว

4.4 กันน์เอฟเฟค

กันน์เอฟเฟคตั้งจากชื่อของ เจ.บี.กันน์ (J.B. Gunn) ชีงคันพมเรื่องนี้เมื่อปี ค.ศ. 1963 ระหว่างการวัดกระแสของอิเลคตรอนร้อนใน GaAs และสารประกอบกลุ่ม III - V อันๆ กันน์ได้วัด J เทียบกับ ϵ ใน GaAs ชนิดเอ็นและได้พบผลที่ไม่คาดคิดมาก่อน คือเมื่อสนามไฟฟ้าเพิ่มขึ้นจากศูนย์ กระแสจะค่อยๆ เพิ่มขึ้นและเป็นเส้นตรงไปตามกฎของโอล์ม จนกระแสทึบ เมื่อถึงสนามค่าหนึ่ง ϵ_0 (อูป 4.4 ก) และเมื่อเลย ϵ_0 ไปกระแสจะเกิดการอสซิลเลต (เทียบกับเวลา) การอสซิลเลตนี้จะโคเครอนท์ (coherent) โดยที่สารตัวอย่างนานมาก ค่า ϵ_0 นี้เรียกว่า "threshold field" สำหรับ GaAs ความหนา 2.5×10^{-3} ซม. ค่า ϵ_0 จะมีค่าประมาณ 3 kV/cm และความถี่ของการอสซิลเลตประมาณ 5 GHz



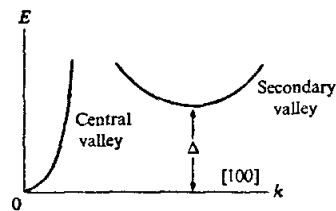
รูป 4.4 กันน์เอฟเฟค (ก) และผลตอบของ J เทียบกับ ϵ ใน GaAs แสดง NDC (ห)

รูป 4.4 (ข) แสดง J เทียบกับ ε สำหรับ GaAs ซึ่งได้จากการคำนวณทางทฤษฎี จะเห็นว่ามีช่วงของสนามไฟฟ้าช่วงหนึ่ง ซึ่งกระแสลดลง เมื่อสนามเพิ่มขึ้น ซึ่งเป็นสัญญาณบวก (ในภาพแสดงด้วยจุดไข่ปลา) พฤติกรรมนี้อธิบายได้โดยกล่าวว่า สารตัวอย่างมีดีฟ เพอเรน เชี่ยลค่อนตัวแคนซ์เป็นลบ (negative differential conductance - NDC) สำหรับดีฟ เพอเรน เชี่ยลค่อนตัวแคนซ์มีค่าเท่ากับ $\partial J / \partial \epsilon$ ขณะที่ส่วนนำไฟฟ้า คือ J / ϵ บางครั้งเราเรียก NDC ว่า NDR (negative differential resistance) ก็ได้ ในทฤษฎีแม่เหล็กไฟฟ้า NDC เป็นสถานะที่ไม่เสถียร นั่นคือ NDC ไม่สามารถอยู่ได้ตลอดไปในสภาวะคงที่ การเปลี่ยนแปลงใดๆ จะทำให้ความไม่เสถียรมีค่ามากขึ้นจนกว่าจะมีการเปลี่ยนแปลงที่ทำให้ระบบกลับไปสู่สภาวะเสถียรใหม่ ในกรณีของกันน์เอฟ เพคสภาวะไม่เสถียรของกระแสในย่าน NDC จะทำให้เกิดการเปลี่ยนแปลงไปสู่สภาวะใหม่คือกระแสออกสั่น เลตอนุ่งทางโโคเชียเรนท์กัม เวลา ค่า ε คือค่าสนามไฟฟ้าที่ทำให้เกิด NDC นั้นเอง และเนื่องจากความต้องการสั่นน้อยในย่านของ GHz ดังนั้นการประดิษฐ์อุปกรณ์โดยใช้กันน์เอฟ เพคจึงสามารถทำเป็นอุปกรณ์ไมโครเวฟได้ ซึ่งจะได้กล่าวถึงในบทต่อๆ ไป

พิจารณาสาเหตุของการเกิด NDC ในสนามไฟฟ้าค่าสูงของ GaAs ชนิดเอ็น โดยเริ่มจากโครงสร้างและพลังงานของ GaAs (อูเพิ่มเดินในบทที่ 9) ซึ่งแสดงความนำมีสัญญาณดังนี้คือ

1. มีเซนทรัลแวลลี (central valley) เป็นแвалลีที่ระดับพลังงานต่ำสุดอยู่ที่ $k = 0$ คือครองกลางโซน (Brillouin zone - BZ) แвалลีนี้อยู่ใกล้กับแกนว่าเลนซ์มากที่สุด ตามปกติอิเลคตรอนจากแกนว่าเลนซ์จะโหลดเข้ามาอยู่ในแвалลีนี้
2. มีแвалลีที่สอง (secondary valley) อยู่ ε แห่ง ซึ่งระดับล่างสุดอยู่ในทิศทาง $<100>$ ของ BZ และอยู่ที่ระดับพลังงานสูงกว่าตอนล่างสุดของเซนทรัลแвалลี เป็นลำดับที่สอง นับจากของเซนทรัลแвалลีขึ้นไป แвалลีทั้ง 6 นี้ทำให้ยกกันจากความสมมาตรของผลีก แต่ไม่เท่ากันกับเซนทรัลแвалลี

สำหรับ GaAs ตอนล่างสุดของแوالลีย์ที่สองกับของ เชนทรัลแوالลีย์ ห่างกันด้วย
ปริมาณ $\Delta \approx 0.36 \text{ eV}$ (คูป 4.5)



รูป 4.5 แผนความนำของ GaAs แสดง เชนทรัลแوالลีย์ และ แوالลีย์ที่สอง

ในแوالลีย์ที่สองชนิดค่ามวลยังคงของอิเลคตรอนและความคล่องตัวจะมีค่าต่างกันมาก เช่นในกรณีของ GaAs มวลยังคงของอิเลคตรอนใน เชนทรัลแوالลีย์ คือ 0.071 m_0 และ ความคล่องตัว $5 \times 10^3 \text{ cm}^2/\text{V}\cdot\text{s}$ ขณะที่ในแوالลีย์ที่สองจะมีค่า 0.36 m_0 และ $100 \text{ cm}^2/\text{V}\cdot\text{s}$ ตามลำดับ จะเห็นว่า มวลยังคงของอิเลคตรอนในแوالลีย์ที่สอง มีค่าประมาณ 5 เท่าของใน เชนทรัล แوالลีย์ ส่วนความคล่องตัวจะน้อยกว่ามาก คือประมาณ $\frac{1}{50}$ เท่าของใน เชนทรัลแوالลีย์ ดังนั้น การ เคสิ่นย้ายของอิเลคตรอนในแوالลีย์ที่สองจะช้ากว่าใน เชนทรัลแوالลีย์มาก

ในสถานะการณ์ปกติ อิเลคตรอนจากแหล่งความร้อนจะโดยเดือนไปอยู่ใน เชนทรัลแوالลีย์ เกือบทั้งหมด ที่เป็นดังนี้เนื่องจากตอนล่างของแوالลีย์ที่สองอยู่สูงกว่าตอนล่างของ เชนทรัลแوالลีย์ ซึ่งค่า Δ ($\approx 0.36 \text{ eV}$) นีมากกว่า $k_B T$ ที่อุณหภูมิห้องมากจนกระทั่งมีอิเลคตรอนในสัดส่วนเพียงเล็กน้อยที่จะโดยเดือนไปในแوالลีย์ที่สอง ถ้าเราให้ 1 แทนค่าต่างๆ ใน เชนทรัลแوالลีย์ และ 2

แทนค่าต่างๆ ในแوالลิย์ที่สอง ดังนั้นในสภาพปกติ เราจะให้ $n \approx n_1$ และกระแสงเนื่องจากสนามไฟฟ้า ϵ จึงเขียนได้ดังนี้

$$J = nle \mu_1 \epsilon = n e \mu_1 \epsilon \quad \dots \dots \dots (4-16)$$

ในที่นี่ n_2 น้อยมากเมื่อเทียบกับ n_1 จนตัดทิ้งไปได้ ดังนั้นอิเลคตรอนในแوالลิย์ที่สองจึงไม่ต้องคำนึงพิจารณาในคุณสมบัติที่เกี่ยวข้องกับการเคลื่อนที่ของอิเลคตรอน (transport properties)

เมื่อสนามไฟฟ้ามีค่าสูงขึ้นกว่าปกตินามากสักนิด การที่จะเปลี่ยนไปคือเมื่อสนามไฟฟ้ามีค่ามากอิเลคตรอนจะ "ร้อน" มีอุณหภูมิสูงกว่าแทบทั้งสิ้น ที่สนามไฟฟ้ามากขึ้นถึงค่าหนึ่ง T_e จะสูงมากจนกระหึ่งอิเลคตรอนมีพลังงานเพียงพอที่จะโผล่เข้าไปอยู่ในแوالลิย์ที่สองที่สนามไฟฟ้าประมาณ 10^7 V/m ค่า T_e จะประมาณ 10^4 °K และ $k_B T_e$ จะมีค่าประมาณ 0.7 eV ($\Delta = 0.36$ eV) จะเห็นว่าที่สนามไฟฟ้าค่าสูงจะเกิดการถ่ายโอน (transfer) ของอิเลคตรอนจากเซนทรัลแوالลิย์ไปสู่แوالลิย์ที่สอง เป็นจำนวนมากทำให้ ค่า n_2 มีจำนวนมากและไม่สามารถตัดทิ้งออกไปจากการพิจารณาได้ ดังนั้นความเข้มของกระแสงขณะนี้จะต้องเขียนในรูป

$$J = J_1 + J_2 = nle \mu_1 \epsilon + n_2 e \mu_2 \epsilon \quad \dots \dots \dots (4-17)$$

เมื่อ J_1 และ J_2 คือความเข้มของกระแสงเนื่องจากอิเลคตรอนในเซนทรัลแوالลิย์ และแوالลิย์ที่สองทั้งหมด ตามลำดับ

จากสมการ (4-17) เราสามารถอธิบายถึงการเกิด NDC ในสารกึ่งตัวนำได้ดังนี้ เมื่อ $n_1 + n_2$ มีค่าเท่ากัน n ซึ่ง n จะเป็นค่าคงที่เมื่อเทียบกับสนามไฟฟ้า และ $\mu_2 \ll \mu_1$ เมื่อสนามไฟฟ้าเพิ่มขึ้นจาก 0 $\rightarrow \epsilon_0$ อิเลคตรอนส่วนใหญ่อยู่ในเซนทรัลแوالลิย์ เพราะ T_e ยังมีค่าไม่สูงพอ นั่นคือ $n \approx n_1$ และ J จะเป็นไปตามสมการ (4-16) ซึ่งผลลัพธ์ ϵ จะได้กราฟ

เลนต่องมีความซับประมาณ μ_1 (อุรูป 4.4 ข) เมื่อ $\epsilon > \epsilon_0$ อิเลคตรอนจะร้อนขึ้นจนกระทึ่ง $k_B T_e$ มีค่าเบรียบได้กับ Δ ทำให้อิเลคตรอนถ่ายโอนเข้าไปอยู่ในแوالลิย์ที่สองมากขึ้น นั่นคือ n_1 จะลดลงขณะที่ n_2 มากขึ้น ($n_1 + n_2$ คงเดิม) ดังนั้น J_1 จะมีค่าลดลงในขณะที่ J_2 มีค่ามากขึ้น แต่เนื่องจาก $n_2 \ll \mu_1$ (ประมาณ 50 เท่า) ดังนั้นการเพิ่มขึ้นของ J_2 จึงน้อยกว่าการลดลงของ J_1 มาก ผลลัพธ์ที่คือความเข้มของกระแสทั้งหมด, J , จะลดลง ซึ่งเป็นผลทำให้เกิด NDC ขึ้นในสารกึ่งตัวนำดังที่กล่าวมา เมื่อสนามไฟฟ้ามีค่าสูงขึ้นต่อไปอีก T_e และ $k_B T_e$ ก็จะมีค่ามากขึ้น ทำให้อิเลคตรอนถ่ายโอนจากเซนทรัลแوالลิย์ไปยังแوالลิย์ที่สองมากขึ้น ซึ่งส่งผลให้ J ลดลงต่อไปอีกเรื่อยๆ ดังรูป 4.4 (ข)

ที่สนามไฟฟ้ามีค่าสูงมากๆ อิเลคตรอนเกือบทั้งหมดจะเข้าไปอยู่ในแوالลิย์ที่สองทำให้ $n \approx n_2$ ส่วน n_1 น้อยมากจนตัดทิ้งไปได้ และสามารถเชียนความเข้มของกระแสได้ดังนี้

$$J \approx J_2 = n e \mu_2 \epsilon \quad \dots \dots \dots (4-18)$$

จากสมการ (4-18) จะเห็นว่ากระแสเพิ่มขึ้นไปตาม ϵ อีกครึ่งหนึ่ง แต่ด้วยความลาดชันใหม่ เท่ากับ μ_2 (อุรูป 4.4 ข) การอธิบายกันนี้เป็นไปโดย NDC ซึ่งเกิดจากการถ่ายโอนของอิเลคตรอนระหว่างแوالลิย์เป็นความคิดของ โคโรเมอร์ (Kroemer)

การถ่ายโอนอิเลคตรอนระหว่างแوالลิย์เกิดขึ้นอย่างรวดเร็วจนสังเกตเห็นได้อย่างชัดเจนเป็นเพราะความหนาแน่นของสถานะในแوالลิย์ที่สองมีค่าสูงกว่าในเซนทรัลแوالลิย์มาก คือที่ระดับพลังงาน E ใดๆ $g(E) \sim (m^*)^{3/2}$ ดังนั้น $g_2(E) \sim 6(m_2^*)^{3/2}$ เลข 6 มาจากจำนวนหน่วยแوالลิย์ที่สองซึ่งมีทั้งหมด 6 แوالลิย์ สำหรับ GaAs ขณะเดียวกัน $g_1(E) \sim (m_1^*)^{3/2}$ ซึ่งจะพบว่า $g_2(E)/g_1(E)$ มีค่าประมาณ 60 ดังนั้นจึงมีสถานะเป็นจำนวนมากในแوالลิย์ที่สอง สำหรับช่วงพลังงานเดียวกัน เมื่อเทียบกับในเซนทรัลแوالลิย์

กันน์อฟเฟคพบใน In P, GaAs_xP_{1-x}, Cd Te, Zn Se, In As และสาร
ประกอบกึ่งตัวนำอื่นๆ ทั้งหมดมีโครงสร้างของແຄນຄວາມນຳຄລ້າຍໆ ກັບ GaAs ສໍາຫຼັບໃນ Ge ແລະ
Si ດາມມີກີຈະໄມ່ພັກກັນນ໌ອົບເຟ ເພຣະໂຄຮງສ້າງແຄນພລັງງານໄມ່ເໜືອນ GaAs

บทสรุป

ใช้โคลด์รอนเรโซแนนซ์

$$\omega_c = \frac{eB}{m^*}$$

ใช้ส่าห์รับการวัดค่ามวลยังผล

ในการทดลอง ω_c จะต้องมีค่ามากกว่า 1 มากๆ

ชอล์โลฟเฟค

ในการเม็พาหะนำประจุชนิดเดียว เช่น อิเลคตรอน

$$R_e = \epsilon_H / JB = -1/ne$$

$$\mu_e = \sigma_e R_e$$

$$= \epsilon_H / \epsilon B = (\tan \theta) / B$$

ในการเม็พาหะนำประจุสองชนิด

$$R = \frac{p \mu_h^2 - n \mu_e^2}{e(n\mu_e + p\mu_h)^2}$$

ชอล์โลฟเฟคส่วนมากจะใช้ส่าห์รับวัดความหนาเย็นของพาหะนำประจุและความ

คล่องตัว

กันน์ เอฟ เฟค

เมื่อสนามไฟฟ้ามีค่าสูงกว่าของโอล์มจะเริ่มผิดไปโดย J จะเพิ่มขึ้นช้ากว่าปกติ (น้อยกว่าตามกฎของโอล์ม) ซึ่งเป็นผลมาจากการความคล่องตัวของอิเลคตรอนร้อนมีค่าต่ำกว่าของอิเลคตรอนปกติในสนามค่าต่ำ

เมื่อสนามไฟฟ้าสูงขึ้นถึงค่าหนึ่ง J จะออกซิลเลตไปตามเวลาด้วยความถี่คงที่ค่าหนึ่งในสารกึ่งตัวนำบางชนิดที่มากมากรา เรียกว่า กันน์ เอฟ เฟค

กันน์ เอฟ เฟค เป็นผลที่เกิดจากในสนามไฟฟ้าค่าสูงอิเลคตรอนจะ "ร้อน" ทำให้ $k_B T_e \approx \Delta$ และเกิดการถ่ายโอนเช้าใบในแوالลิย์ที่สอง ซึ่งมีความคล่องตัวน้อยกว่าในเซนทรัลแوالลิย์มาก ผลก็คือทำให้ J ลดลง หรือเกิด NDC

ในสนามไฟฟ้าค่าต่ำ

$$J \approx n e \mu_1 \epsilon$$

ในสนามไฟฟ้าค่าสูง

$$J \approx n e \mu_2 \epsilon$$

$$\mu_1 \approx 50 \mu_2$$

NDC เป็นภาวะที่ไม่เสถียร จึงทำให้กระแสเกิดการออกซิลเลต

กันน์ เอฟ เฟคสามารถนำไปประยุกต์เป็นพวงกีดicro เวฟอูลซิลเลเตอร์

คำถานท้ายบท

1. สำหรับการเคลื่อนที่แบบใช้โคลต์รอน จงพิสูจน์ว่า

$$\omega_c = eB / m^*$$

2. ในเรื่องชอล์โอฟเฟคจะวัดภาพการจัดเครื่องมือและตัวอย่างให้กำหนดค่าต่างๆ เอง และแสดงให้เห็นอย่างชัดเจนถึงการวัดค่า n หรือ p จากการทดลองนี้

3. ทดลองชอล์โอฟเฟคกับแท่งทองแดงสี่เหลี่ยม มีความยาว 0.1 ม. พน 0.001 ม. กว้าง 0.01 ม. \vec{J} อยู่ในทิศความยาว และ B อยู่ในทิศความหนาตั้งฉากกับ \vec{J} วัดศักย์ของชอล์ได้ V_1 เมื่อ B เท่ากับ $1.5 \text{ เวเบอร์}/\text{ม}^2$ และกระแส 40 แอมป์ เมื่อกลับทิศทางของ B จะให้ศักย์ของชอล์เท่ากับ V_2 จงหาค่าของ $V_2 - V_1$.
(ตอบ $6.6 \times 10^{-6} \text{ โวลต์}$)

4. จงพิสูจน์ว่าบุนช่องชอล์ในสารกึ่งตัวนำที่มีพารามิเตอร์ทั้งสองชนิดสามารถหาได้จากสมการ

$$\tan \theta = \pm \frac{(p \mu_h^2 - n \mu_e^2)B}{p \mu_h - n \mu_e}$$

(ในภาวะคงที่กระแสและความยาวต้องเท่ากับกันนี้ และให้แทนสนามไฟฟ้าทั้งหมดด้วยแรงจากสนามไฟฟ้าและแม่เหล็กต่อ 1 หน่วยประจุ)

5. เพื่อที่จะได้ใช้โคลต์รอนเรซิแทนท์ที่ชัดเจน ค่าระยะทางอิสระ เฉลี่ยของพารามิเตอร์ (μ ชั้นอิเลคตรอน) จะต้องมีค่ามากกว่าร้อยละของวงโคลต์รอนมากๆ จงหาค่าสนามแม่เหล็กที่ทำให้เกิดเหตุการณ์นี้

ถ้า (a) $\lambda = 10^{-5}$ cm, T = 300 °K

(b) $\lambda = 10^{-4}$ cm, T = 10 °K

ให้ $m_e^* = m_0$ ห้อง 2 กรัม

(ตอบ. ให้ $\lambda = 10$ เท่าของรัศมี (a) 54 เวบอว์/ม.², (b) 0.98 เวบอว์/ม.²)